

まえがき. 見送ろ過池の逆流時の最適膨張比の決定, 最適逆流操作などについてはまだ未解決の部分が残っており, 逆流時の粒子の挙動, フロックスの排出機構などの究明が求められている。著者らはさらに, 流動層内の洗浄水の流速変動スペクトル測定などにより流動層の研究を行ってきたが, 後述の如くあるいは洗浄開始時点での流速測定は困難であるなど, 流動層解明にあたっては流速測定の外にも種々の計測手段による検討が要求される。ここでは層内の圧力変動の測定も, 流動層解明の有効な手段と考へて, これについての測定および与えられた圧力変動のスペクトル分布について若干の考察を行ったものである。

1. 実験. 逆流時複層ろ過池の境界部の波打ちなどから考へて, 実際池の粒子の流動は必ずしも均一ではなく, ある周期をもつ変動も生じていることが考えられ, 図-1のように砂層に滯流を生じて, この縮模様が上昇してゆくいわゆるスラッグ現象に近い現象も生じていることが考えられる。したがって, ここではスラッグ状態から均一の流動状態までを含めた現象を対象として, 管壁の影響など種々の問題点はあるが一応スラッグが生じ易く, 循環流の生じにくい小径のろ槽を用いた。ここではろ槽は径2.85cmのアクリル筒, ろ材は密度248g/cm³, 粒径1.02mmのガラス球, 流体は水とした。圧力は図-1のa点の差圧変動を圧力変換器で測定記録した。圧力変換器の検定結果を図-2に示す。これはろ槽に連結したピペットから0.02mlずつの水を注給し, ろ塔内の水位上昇(0.02mlで0.0314mmの上昇)をペン書きオシロに記録した結果である。また, シリコンオイルと封入した受圧部を木につけ僅かな衝撃を加えてその上への時間を調べ約1/790~1/1800 secをえた。これはより変換器の精度は逆流現象の圧力変動の把握に十分であると考へた。

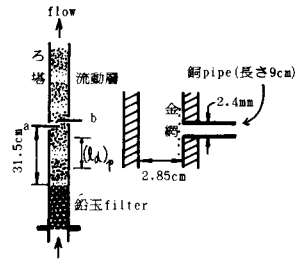


図-1. 実験装置の概略図

図-1のa点の圧力変動及びab間(ab=6mm)

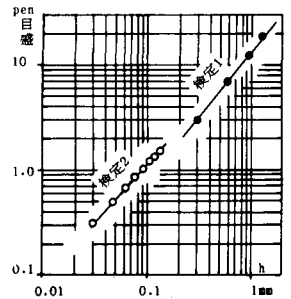


図-2. 水位上昇とペン書きの振出し

2. 実験結果と考察

(2-1) スペクトル分布の計算. データレコーダに記録したa点の圧力変動および

ab間の差圧変動を $\Delta t = 1/300 \text{ sec}$ の周期で1024個サンプルし, 最大エントロピー法²⁾によってスペクトル分布を計算し, これの30回の算術平均をとって各膨張率ごとのスペクトル分布曲線と求めた。記録したデータには建物等の振動雑音が入っており(そのスペクトル分布の1例を図-3のnoiseに示す), 低周波除去のために最小二乗法によるトレンドの除去操作³⁾を行った。また最近, 北村・金子の提案したDNP処理⁴⁾:

$$DNP = \int_{-\infty}^{\infty} S(f) df / \sigma^2 - 1 \dots (1)$$
 (σ^2 : 変動の分散, $S(f)$: スペクトル分布)を算定し, 10^{-1} ~ 10^3 程度の値でほぼ0に近いので, このスペクトル分布の算定は十分な精度をもつといえる。

(2-2) 結果. 表-1に実験条件, 図-3,4に圧力変動及び差圧変動ともに本頭に換算のスペクトル分布を示す。次に表-2は図-4のスペクトル $Y = S_{ab}(f)$ のピーク値 Y_p とその周波数 f_p を示す。これらの結果より次のことがわかる。

- ①スペクトルには周波数 1.8 (1/sec) 付近にかたまり顕著なピークが現れ出る。これは図-1に例示するスラッグの周波数で肉眼の測定でもこの周波数はほぼ確認される。
- ②このピークは図-3より図-4(または表-2)の方が膨張率の増大につれて減少しながらも残っていて, 差圧変動の測定の方がスペクトルの測定について正確な値が与えられるのではなかと考へられる。
- ③圧力変動の場合の局所等方位性⁵⁾を示す V/V_0 率別が成立する部分が存在し, その範囲はほぼ周波数 $7 \sim 30 \text{ Hz}$ とする。その値は著者らが与えに求めた流動層の

表-1 3速 V_0 (cm/sec) と膨張率 E (%)

exp	1 ($L_0 = 20.0$)		2 ($L_0 = 27.5$)		3 ($L_0 = 27.5$)	
	V_0	E	V_0	E	V_0	E
1	1.64	20	1.59	24	1.87	32
2	2.52	40	2.18	40	2.72	55
3	3.32	60	2.80	60	3.14	67
4	3.73	80	4.37	115	4.01	98
5	4.34	100	3.72	70	4.36	109
6	5.02	120	4.86	147	5.64	171
7	5.38	140				

[exp 1, 2: a点の圧力変動, exp 3: ab間の差圧変動, L_0 : 初期砂層高(cm)]

10×5cm²の長方形断面、粒径0.455mm R_g 102mmのガラス球内の洗浄水の流速変動のスペクトル分布から60%程度の膨張率で流速変動の場合の局所等方位の-5/3乗則が成立する範囲としてた周波数10~30Hzとほぼ近似した値であった。④膨張率の増大につれ3~4Hzより低周波数でスペクトルが低下し、高周波数でスペクトルが上昇している。また膨張率の増大につれスラッグレングスが減少して、高周波の圧力変動が増え、一様な圧力変動に近づくことになり。

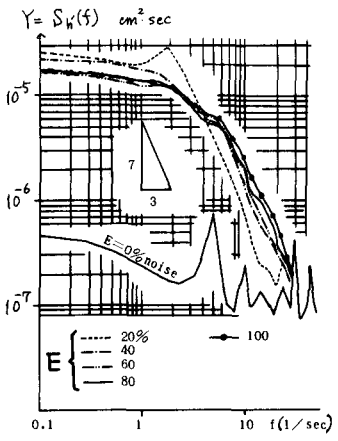


図-3 exp 1のスペクトル分布 (A点の圧力変動)

⑤図-5は図-4の横軸に示す周波数fを流速V₀で割ったf/V₀(=1/λd cm⁻¹, λd:波長)を用いて分布を書き改めたものである。[この場合、周波数表示のスペクトルE_{Δh}(f), 1/λd表示のスペクトルE_{Δh}(1/λd)とすれば、S_{Δh}(f) = {S_{Δh}(1/λd)} / V₀の関係がある。図-5の縦軸には{S_{Δh}(1/λd)} / V₀ Eを示している。]この図から、膨張率の増大にもない。ピーク値を示す(1/λd)_pが小さくなっていること、1fがって粒子層の濃度の波長(図-1の(λd)_pに相当しよう)が大きくなってゆくといえる。⑥図-6にはA点の木頭及びab間の木頭差変動の強さを示して、膨張率を増してもその強さはあまり変化しないようである。⑦木材粒子の運動について考え、木材粒子は図-5のような波長成分をもつ圧力変動を外力として受け、スペクトル分布が1/λd=0.5~1cm⁻¹, 1fがってλd=1(E=32%)~2(E=98%)cm程度のところまでピークをもつことから粒子はこのスケール方向に運動し、さらにこのスケール内でより小さい運動をしているものと考えらる。また膨張率の増大とともにピークが小さくなることから粒子は膨張率の増加につれ(λd)_pは増加するとともに、その強さは減じ、周期性の強い運動は消滅して流動が一様化するようになるといえる。

3. 結び 本報は小さな塔を用いるなど実際とかなり相違する条件の実験であるが、圧力変動の測定結果は逆流流動層の現象を把握するに有効であることを確かめた。今後は実際に近い状態での測定を行い、逆流開始時の非定常膨張の流動層の挙動、不完全と完全膨張の判別、圧力変動と粒子の動きとの関係などを検討して、最適逆流操作の管理指標について研究したいと考える。

参考文献

- 1) 笠口・上田, 急速ろ過池の逆流洗浄機構の検討, 論文報告集 No 2725, 1978年4月
- 2) 日野幹雄, スペクトル解析, 朝倉書店, 昭52年
- 3) J.S.バザント, 他 ランダムデータの統計的処理, 培風館, 昭53年
- 4) 北村金子, MEMスペクトル計算上の問題点, 土木学会誌, 1978年11月号 (PP23-29)

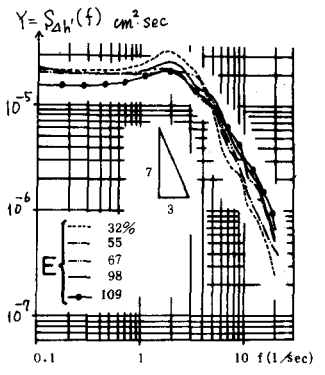


図-4 exp 3のスペクトル分布 (ab間の差圧変動)

表-2 ピーク周波数とピーク値 (図-4に対するもの)

E%	f _p	Y _p
32	1.76	3.12×10 ⁻⁵
55	1.76	2.25
67	1.91	2.12
98	1.76	2.54
109	1.76	2.19
171	1.91	1.63

[f_p: ピーク周波数(1/Sec)
Y_p: ピーク値 (cm² Sec)

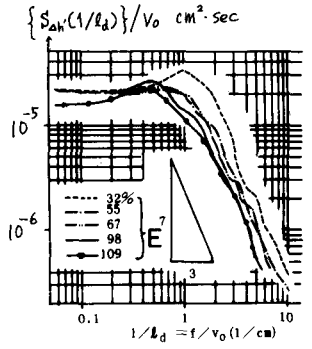


図-5 図-4の(1/λd)による表示

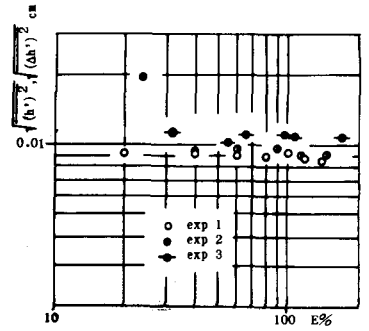


図-6 木頭及び木頭差変動の強さ